

## Прочность летательных аппаратов

### **МАТЕМАТИЧЕСКИЕ МОДЕЛИ УТОЧНЕННОГО РАСЧЕТА НЕПРЕРЫВНЫХ АВИАЦИОННЫХ СОЕДИНЕНИЙ НА ПРОЧНОСТЬ С УЧЕТОМ ИХ ПОДАТЛИВОСТИ**

Вал.В. ФИРСАНОВ, *д-р техн. наук, профессор*  
Федеральное государственное бюджетное образовательное учреждение  
высшего профессионального образования «Московский авиационный институт  
(национальный исследовательский университет)» «МАИ»,  
125993, Москва, А-80, ГСП-3, Волоколамское шоссе, д.4; [k906@mai.ru](mailto:k906@mai.ru)

*Построены математические модели и алгоритмы расчета, позволяющие уточнить напряженно-деформированное состояние непрерывных авиационных соединений и разностенных стыков. Сформулирована и решена краевая задача по определению напряженного состояния краевой плоской деформации (типа «погранслой») вблизи жесткозакрепленного края цилиндрической оболочки и кольцевой пластинки при осесимметричном нагружении. Проведены расчеты напряжений во фланцевом соединении, построены графики этих напряжений по толщине пластинки и оболочки. Краевая задача по определению «погранслоя» модифицирована для учета податливости соединяемых элементов конструкций, дана оценка ее влияния.*

**КЛЮЧЕВЫЕ СЛОВА:** неклассическая теория пластинок и оболочек, цилиндрическая оболочка, краевой эффект, кольцевая пластинка, краевая плоская деформация, краевая задача, полиномиальная аппроксимирующая функция, разрешающая система дифференциальных уравнений, естественные граничные условия, нормальные продольные и поперечные напряжения, касательные напряжения, фланцевое соединение, задача Фламан-Буссинеска, упругие свойства материалов.

#### ***Введение***

Инженерные расчеты всех видов непрерывных соединений, как правило, базируются на результатах классической теории пластинок и оболочек типа Кирхгофа-Лява и Тимошенко-Рейсснера. Однако результаты экспериментов показывают, что для соединений элементов конструкций указанная теория не дает удовлетворительного соответствия с практикой в силу существенной трехмерности напряженно-деформированного состояния (НДС).

В результате, для предупреждения разрушения конструкций летательных аппаратов в зоне соединений и стыков, при их проектировании принимаются повышенные запасы прочности и долговечности, что приводит к ухудшению такого важного показателя научно-технического уровня, как весовое совершенство. Поэтому разработка достоверных методов расчета соединений элементов тонкостенных конструкций, основанных на трехмерной теории пластинок и оболочек, является актуальной проблемой.

В данной работе с позиции неклассической теории пластинок и оболочек построены математические модели уточненного расчета НДС тонкостенных авиационных конструкций как во внутренних областях, так и в узких краевых зонах вблизи нерегулярностей типа непрерывных соединений, стыков разностенных элементов конструкций и других зон контактного взаимодействия.

Сущность неклассической теории состоит в построении основного НДС во внутренних областях, базирующегося на классической теории типа Кирхгофа-Лява или уточненной теории расчета пластинок и оболочек переменной толщины, и дополнительного самоуравновешенного НДС типа «пограничный слой», возникающего вблизи соединений и стыков и быстро затухающего при удалении на расстояние, соизмеримое с толщиной пластинки или оболочек.

Рассматривается только жестко защемленный край, так как в этом частном случае дополнительные напряжения являются наиболее существенными, что очень важно для практических приложений. Тогда задача определения краевого НДС в окончательной постановке трактуется как задача суперпозиции двух состояний. Одной из них является решением классической теории, другое - дополнительное, соответствует решению задачи о краевой плоской деформации для уточненных граничных условий по закрепленному краю.

На базе неклассической теории пластинок и оболочек будут разработаны инженерные методы расчета НДС непрерывных соединений типа фланцевых, сварных, клеевых и т.п., обладающих повышенной достоверностью. Эти методы предназначены для применения на этапах проектирования, испытаний и эксплуатации летательных аппаратов при выборе рациональных конструктивно-силовых схем и материалов, обоснование режимов испытаний и условий эксплуатации. Указанные задачи решаются энергетическим методом приведения к обыкновенным дифференциальным уравнениям. Для получения основных соотношений краевых задач используется вариационный метод Власова-Канторовича. В качестве примера уточненного расчета рассматривается определение НДС фланцевого соединения. Методы расчета фланцев основываются на результатах теории кольцевых пластинок и теории тонкостенных цилиндрических оболочек.

Приведем основные уравнения [1,2,3] для определения дополнительного НДС краевой плоской деформации в кольцевой пластинке и цилиндрической оболочке, необходимые для целей данной работы.

**НДС краевой плоской деформации в кольцевой пластинке**

Изотропная кольцевая пластинка (рис.1) нагружена поперечной распределенной нагрузкой  $q(r)$ , симметричной относительно оси  $Oz$ . Отнесём пластинку к цилиндрической системе координат  $(r, \varphi, z)$ . Обозначим через  $a$  и  $b$  радиусы внешнего и внутреннего контуров, а через  $2h$  - её толщину.

Для определённости будем полагать, что контур пластинки  $r = a$  - жестко защемлённый. Внутренний контур пластинки  $r = b$  может быть любым, в том числе и свободным, нагруженным краевыми усилиями типа изгибающих моментов и перерезывающих сил (осесимметричный изгиб).

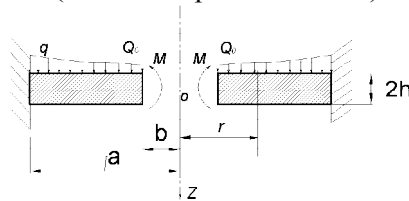


Рис. 1 Кольцевая пластинка

Далее полагаем, что основное НДС пластинки известно. Введем безразмерные координаты по формулам

$$\rho = \frac{r}{a}; \zeta = \frac{z}{h}; \rho_1 = \chi\rho; \chi = \frac{a}{h}.$$

Применяя метод прямого асимптотического интегрирования трехмерных уравнений теории упругости в цилиндрических координатах и вариационный метод Власова-Канторовича, можно сформулировать краевую задачу вблизи жестко защемленного края пластинки для определения функции напряжений. С этой целью представим функцию  $\Phi$  в виде конечного ряда

$$\Phi = \sum_{i=1}^{i=n} F_i(\zeta)\psi_i(\rho), \tag{1}$$

где  $F_i(\zeta)$  - функции, аппроксимирующие функцию  $\Phi$  по толщине пластинки и удовлетворяющие граничным условиям

$$F_i = F_i' = 0 \text{ при } \zeta = \pm 1, \quad (2)$$

а  $\psi_i(\rho)$  – функции, подлежащие определению.

В результате, с точностью порядка  $h^*$  по сравнению с единицей, получим систему обыкновенных дифференциальных уравнений

$$\sum_{i=1}^{i=n} (a_{ik} \psi_i^{IV} + b_{ik} \psi_i'' + c_{ik} \psi_i') = 0 \quad ; \quad (k=1, 2, \dots, n), \quad (3)$$

где введены обозначения

$$a_{ik} = \int_{-1}^{+1} F_i F_k d\zeta ; \quad b_{ik} = -2 \int_{-1}^{+1} F_i' F_k' d\zeta ; \quad c_{ik} = \int_{-1}^{+1} F_i'' F_k'' d\zeta, \quad (4)$$

и естественные граничные условия для определения произвольных постоянных

$$\sum_{i=1}^{i=n} (d_{ik} \psi_i' + e_{ik} \psi_i) = Q_k \Big|_{\rho=1}, \quad \sum_{i=1}^{i=n} (f_{ik} \psi_i''' + g_{ik} \psi_i') = 0 \text{ при } \rho_1 = \chi, \quad (5)$$

где  $d_{ik} = \int_{-1}^{+1} F_i F_k d\zeta ; \quad e_{ik} = \frac{\nu}{1-\nu} \int_{-1}^{+1} F_i' F_k' d\zeta ; \quad Q_k(\rho) = -L(\rho) \int_{-1}^{+1} \zeta F_k d\zeta ; \quad (6)$

$$L(\rho) = N \left( \frac{d^2 w}{d\rho^2} \right) \Big|_{\rho=1} \frac{d^2 w}{d\rho^2}; \quad N = \frac{2E}{1-\nu^2} \left\{ \left[ \left( \frac{d^2 w}{d\rho^2} \right) \Big|_{\rho=1} \right]^2 \right\}^{-1};$$

$$f_{ik} = \int_{-1}^{+1} F_i F_k d\zeta ; \quad g_{ik} = -\frac{2-\nu}{1-\nu} \int_{-1}^{+1} F_i' F_k' d\zeta,$$

где  $\nu$  - коэффициент Пуассона,  $w$  - прогиб, соответствующий основному НДС.

Аппроксимирующие функции  $F_i(\zeta)$  должны удовлетворять только условиям (2), поэтому, решая задачу в полиномах, можно ограничиться лишь первым членом ряда (1), взяв аппроксимирующую функцию в виде

$$F_1(\zeta) = \zeta - \frac{7}{6} \zeta^3 + \frac{1}{6} \zeta^{15}. \quad (7)$$

Обоснование применения этой функции при расчете НДС краевой плоской деформации дана в работе [4]. Тогда компоненты краевой плоской деформации определяются по формулам

$$\sigma_r'' = m(\varphi) \frac{\partial^2 \Phi}{\partial \zeta^2}; \quad \sigma_z'' = m(\varphi) \frac{\partial^2 \Phi}{\partial \rho_1^2}; \quad \tau_{rz}'' = -m(\varphi) \frac{\partial^2 \Phi}{\partial \zeta \partial \rho_1};$$

$$\sigma_\varphi'' = \nu m(\varphi) \left( \frac{\partial^2 \Phi}{\partial \rho_1^2} + \frac{\partial^2 \Phi}{\partial \zeta^2} \right); \quad (8)$$

$$Eu'' = (1+\nu) m(\varphi) \left[ \int \frac{\partial^2 \Phi}{\partial \zeta^2} d\rho_1 - \nu \frac{\partial \Phi}{\partial \rho_1} \right]; \quad Ew'' = (1+\nu) m(\varphi) \left[ \int \frac{\partial^2 \Phi}{\partial \rho_1^2} d\zeta - \nu \frac{\partial \Phi}{\partial \zeta} \right],$$

где  $m(\varphi) = -\frac{\nu h}{2(1-\nu)a^2} \frac{d^2 w}{d\rho^2} \Big|_{\rho=1}, \quad (9)$

На основании формулы (7) ограничимся случаем  $n = 1$ . Тогда в соответствии с (4), находим

$$a_{11} = \int_{-1}^{+1} [F_1(\zeta)]^2 d\zeta = 0,122; \quad b_{11} = -2 \int_{-1}^{+1} [F_1']^2 d\zeta = -2,54;$$

$$c_{11} = \int_{-1}^{+1} [F_1'']^2 d\zeta = 58,1$$

и дифференциальное уравнение (3) принимает вид

$$0,122\psi_1'' - 2,54\psi_1'' + 58,1\psi_1 = 0.$$

Решая его и принимая во внимание характер затухания функции  $\psi_1$ , получим следующее выражение:

$$\psi_1 = e^{-4,01\rho_*} (C_1 \cos(2,39\rho_*) + C_2 \sin(2,39\rho_*));$$

где  $C_1, C_2$  - произвольные постоянные и введена замена переменной по формуле  $\rho_* = \rho_1 - \chi$ .

Для определения  $C_1, C_2$  воспользуемся граничными условиями (5), вычислив коэффициенты по формулам (6), находим

$$d_{11} = \int_{-1}^{+1} [F_1']^2 d\zeta = -0,122; \quad e_{11} = \frac{\nu}{1-\nu} \int_{-1}^{+1} [F_1']^2 d\zeta = 0,545;$$

$$Q_1(\rho) = -\frac{2E}{1-\nu^2} \int_{-1}^{+1} \zeta F_1 d\zeta = -0,483E;$$

$$f_{11} = \int_{-1}^{+1} [F_1]^2 d\zeta = 0,122; \quad g_{11} = -\frac{2-\nu}{1-\nu} \int_{-1}^{+1} [F_1']^2 d\zeta = -3,09.$$

В результате определяем:

$$C_1 = 0,0609E; \quad C_2 = -0,149E;$$

Функция  $\psi_1$  записывается как

$$\psi_1 = Ee^{-4,01\rho_*} (0,061 \cos(2,39\rho_*) - 0,149 \sin(2,39\rho_*))$$

и, наконец, функция  $\Phi$  с учетом (1) принимает окончательный вид:

$$\Phi = Ee^{-4,01\rho_*} (0,061 \cos(2,39\rho_*) - 0,149 \sin(2,39\rho_*)) \left( \zeta - \frac{7}{6}\zeta^3 + \frac{1}{6}\zeta^{15} \right).$$

В качестве примера рассмотрим металлическую ( $\nu = 0,3$ ) пластинку, изгибаемую моментом  $M$ , равномерно распределенным по ее внутреннему контуру (чистый изгиб). Далее введем для максимального радиального и тангенциального напряжения на жестко защемленном краю пластинки  $r = a$  при  $z = h$  обозначение  $\sigma_r^K$  и  $\sigma_\varphi^K$  соответственно и их величины определяются с помощью соотношений

$$\sigma_r^K = -\frac{E}{1-\nu^2} \frac{d^2 w}{dr^2} \Big|_{r=a}; \quad \sigma_\varphi^K = \nu \sigma_r^K \quad (10)$$

Тогда на основании равенств (8) с учетом формул (9) и (10) компоненты напряжений краевой плоской деформации на этом же краю пластинки можно записать в виде

$$\begin{aligned} \sigma_r^{\Pi} &= 0,0119\sigma_r^K (-7\zeta + 35\zeta^{13}) \quad \sigma_z^{\Pi} = 0,68\sigma_r^K \left( \zeta - \frac{7}{6}\zeta^3 + \frac{1}{6}\zeta^{15} \right); \\ \sigma_\varphi^{\Pi} &= 0,195\sigma_r^K (3,06\zeta - 4,07\zeta^3 + 2,14\zeta^{13} + 0,58\zeta^{15}); \\ \tau_{rz}^{\Pi} &= 0,117\sigma_r^K \left( 1 - \frac{7}{2}\zeta^2 + \frac{5}{2}\zeta^{14} \right). \end{aligned} \quad (11)$$

На основе соотношений (11) были построены графики (рис. 2), показывающие изменение напряжений по толщине пластинки при  $\rho_* = 0$ . Пунктирной линией для сравнения изображены соответствующие основные напряжения. Анализ рисунков показывает, что дополнительные к классической теории напряжения краевой плоской деформации достигают 35% от максимального нормального

напряжения изгиба. Кроме того, поперечные нормальные и касательные напряжения, которые в классической теории для рассматриваемого примера равны нулю, здесь достигают 15-24% от максимального нормального напряжения изгиба. Последний факт может иметь большое значение для оценки прочности пластинок из композиционных материалов. Полученные результаты свидетельствуют, что плоская деформация вносит значительный вклад в общее напряженное состояние пластинки и её необходимо учитывать при расчетах на прочность соединений и стыков.

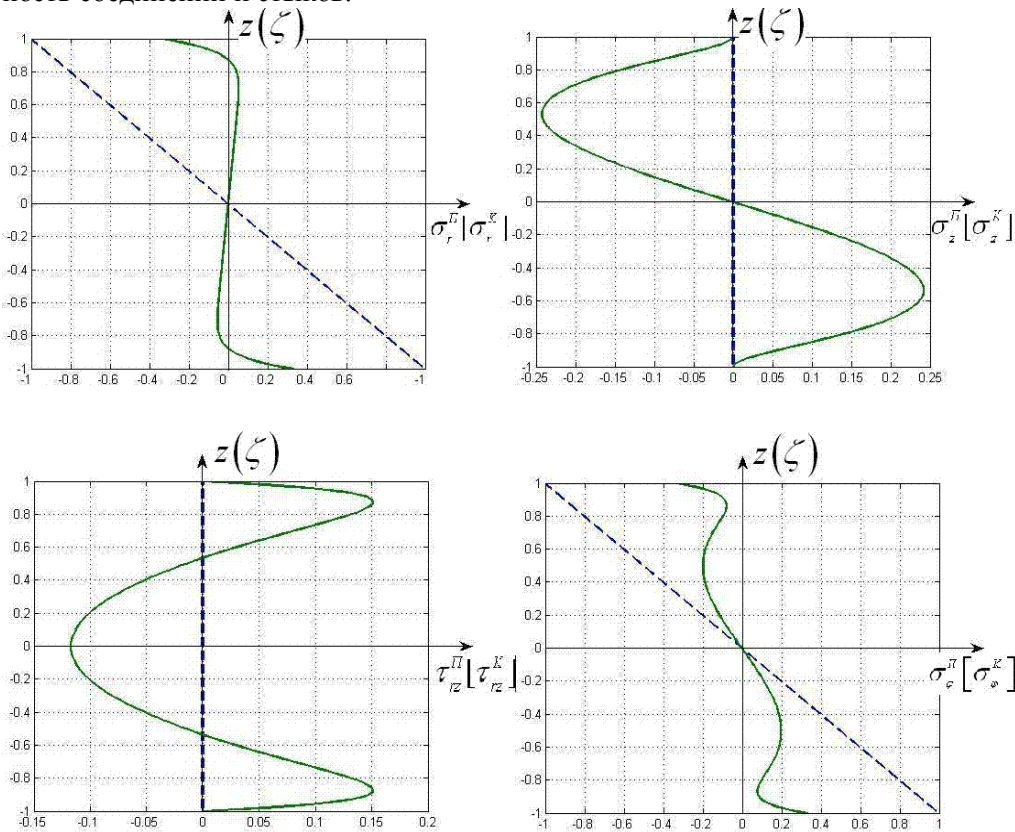


Рис. 2. Распределение напряжений плоской деформации по толщине круглой пластинки

Результаты, приведенные на рис. 2, в количественном отношении хорошо согласуются с данными работ [6,7], полученными комбинацией метода разложения перемещений в полиномиальные ряды по нормальной к срединной поверхности оболочки координате, и вариационного принципа Лагранжа.

**НДС краевой плоской деформации в цилиндрической оболочке**

Рассматривается оболочка из изотропного материала, нагруженная поперечной распределенной нагрузкой  $q(\theta, z)$  отнесена к цилиндрической системе координат  $(r, \theta, z)$  (рис.3). Обозначим через  $R$  характерный радиус кривизны оболочки, а через  $2h$  - ее толщину.

Введем также координату  $\rho$ , для которой справедливо равенство

$$\rho = r - R ; -h \leq \rho \leq h .$$

Для определенности положим, что край оболочки  $z = 0$  - жестко защемленный. Другой край может быть любым, в том числе и свободным, нагруженным сосредоточенными силовыми факторами типа изгибающих моментов и перерезывающих сил, передающихся на оболочку со стороны других отсеков конструкции.

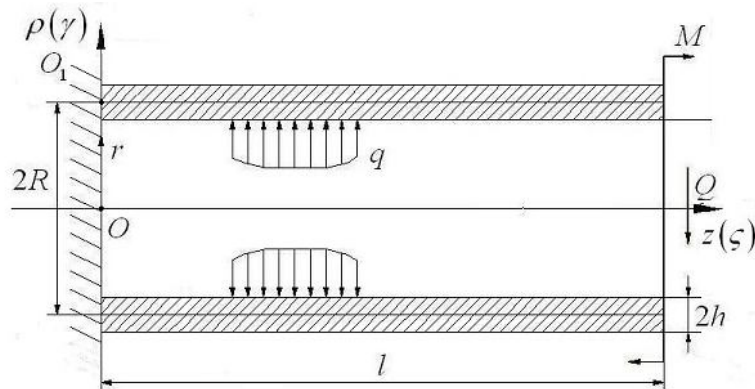


Рис. 3. Цилиндрическая оболочка

Будем считать далее всюду, что для рассматриваемой оболочки выполняются все условия [5] применимости безмоментной теории и, следовательно, внутреннее (основное) НДС оболочки, соответствующее классической теории, составляется как сумма безмоментного НДС и НДС простых краевых эффектов.

Кроме того, полагая, что оболочка достаточно тонкая, далее всюду заменим переменную величину  $1/r$  на постоянную величину  $1/R$ . Эта замена эквивалентна пренебрежению в дифференциальных уравнениях членами порядка  $h_*$  по сравнению с  $h_*^0$ .

Применим известный прием растяжения масштаба, заменив независимые переменные по формулам

$$\rho = h\gamma, \quad -1 \leq \gamma \leq 1; \quad z = h\zeta; \quad 0 \leq \zeta \leq l/h.$$

Для цилиндрической оболочки постоянной толщины краевая задача для функции  $\Phi(\gamma, \zeta_3)$  формулируется аналогично рассмотренной задаче для кольцевой пластинки. Кроме того, учтем, что, в силу граничных условий, аналогичных (2), функция  $\Phi$  должна быть нечетной относительно переменной и поэтому интегралы по  $\gamma$  от нечетных функций в интервале  $(-1, +1)$  обращаются в ноль. Тогда система обыкновенных дифференциальных уравнений имеет вид:

$$\sum_{i=1}^{i=n} (a_{ik} \psi_i^{(IV)} - 2b_{ik} \psi_i'' + c_{ik} \psi_i) = 0, \quad (k = \overline{1, n}), \quad (12)$$

где 
$$a_{ik} = \int_{-1}^{+1} F_i F_k d\gamma; b_{ik} = \frac{1}{h_*^2} \int_{-1}^{+1} F_i' F_k' d\gamma; c_{ik} = \frac{1}{h_*^4} \int_{-1}^{+1} F_i'' F_k'' d\gamma. \quad (13)$$

Часть произволов интегрирования уравнений (12) определится из условий затухания функции  $\Phi$  при  $\zeta \rightarrow +\infty$ , а другая часть произволов - из естественных граничных условий на краю  $\zeta = 0$ , которые записываются следующим образом:

$$\sum_{i=1}^{i=n} (d_{ik} \psi_i^{(II)} + e_{ik} \psi_i) = Q_k; \quad \sum_{i=1}^{i=n} (f_{ik} \psi_i^{(III)} + g_{ik} \psi_i^{(I)}) = 0, \quad \text{при } \zeta = 0, \quad (14)$$

где 
$$d_{ik} = \int_{-1}^{+1} F_i F_k d\gamma; e_{ik} = \frac{\nu \cdot h_*^{-2}}{1-\nu} \cdot \int_{-1}^{+1} F_i' F_k' d\gamma; f_{ik} = -\int_{-1}^{+1} F_i F_k d\gamma; g_{ik} = \frac{(2-\nu)h_*^{-2}}{1-\nu} \cdot \int_{-1}^{+1} F_i' F_k' d\gamma; \quad (15)$$

$$Q_k = \frac{1}{N} \int_0^{2\pi} m(\theta) \int_{-1}^{+1} \left( \sigma_z^M + \frac{\nu}{1-\nu} \sigma_\theta^M \right) \Big|_{\gamma=1} \cdot \gamma F_k d\gamma d\theta.$$

После того, как функция  $\Phi$  будет определена, компоненты напряжений плоской деформации можно найти из соотношений:

$$\begin{aligned} \sigma_{r\Pi} &= m(\theta) \sum_{i=1}^{i=n} F_i(\gamma) \psi_i''(\zeta); \sigma_{z\Pi} = \frac{m(\theta)}{h_*^2} \sum_{i=1}^{i=n} F_i''(\gamma) \psi_i(\zeta); \\ \sigma_{\theta\Pi} &= \nu m(\theta) \sum_{i=1}^{i=n} \left[ \left( \frac{1}{h_*^2} \right) F_i''(\gamma) \psi_i(\zeta) + F_i(\gamma) \psi_i''(\zeta) \right]; \\ \tau_{rz\Pi} &= -\frac{m(\theta)}{h_*} \sum_{i=1}^{i=n} F_i'(\gamma) \psi_i'(\zeta). \end{aligned} \quad (16)$$

где для функции  $m(\theta)$  справедливо равенство

$$m(\theta) = -\frac{\nu}{E} \sigma_z^B \Big|_{z=0}^{\gamma=1}.$$

где  $\sigma_z^B$  - напряжение, соответствующее основному НДС.

В частном случае осесимметричной задачи в формулах (16) функция  $m(\theta)$  обращается в постоянную величину. Для определенности полагаем

$$m_0(\theta) = 1. \quad (17)$$

Тогда в правой части граничных условий (14) вместо  $Q_k$  надо брать величину  $Q_{k0}$ , которая находится из соотношения

$$Q_{k0}(\zeta) = \frac{\nu}{1-\nu} \int_{-1}^{+1} \sigma_z^M \Big|_{\gamma=1} \cdot \gamma \cdot F_k d\gamma, \quad (18)$$

где  $\sigma_z^M$  - максимальное значение продольного нормального напряжения.

Отметим, что аппроксимирующая функция  $F_1(\gamma)$  для определения первого приближения берется в виде (7), путем замены переменной  $\zeta$  на  $\gamma$ .

В качестве примера рассмотрим стальную цилиндрическую оболочку с относительной полутолщиной  $h_* = 0.01$ , находящуюся под действием внутреннего давления. Край оболочки  $z = 0$  жестко сочленен с металлической кольцевой пластинкой. Считаем, что основное осесимметричное напряженное состояние оболочки известно.

В результате решения краевой задачи (14), (15), (17), (18) функция  $\Phi(\zeta, \gamma)$  записывается как

$$\begin{aligned} \Phi &= h_*^2 \sigma_z^M \cdot \exp\left(\frac{-4.01\zeta}{h_*}\right) \cdot \left( 0.012 \cdot \cos\left(\frac{2.39\zeta}{h_*}\right) - 0.031 \cdot \right. \\ &\quad \left. \cdot \sin\left(\frac{2.39\zeta}{h_*}\right) \right) \cdot \left( \gamma - \frac{7}{6} \gamma^3 + \frac{1}{6} \gamma^{15} \right). \end{aligned} \quad (19)$$

Определив функцию  $\Phi$ , для нахождения компонентов напряжений плоской деформации, подставим выражение (19) в соотношения (16) с учетом (17). Графики искомых напряжений на краю  $z = 0$  в произвольном сечении  $\theta = const$  по толщине оболочки представлены на рис.2.

Так как задача о НДС краевой плоской деформации в кольцевой пластинке решается в цилиндрических координатах и графики напряжений по толщине пластинки на рис.2 представлены в относительном виде, то они сохраняют свой

вид и для цилиндрической оболочки при условии следующей замены в обозначениях напряжений и координатных осей:  $r$  на  $z$ ,  $z$  на  $r$ , на  $\theta$ ,  $\sigma_r^K$  на  $\sigma_z^M$ .

Уравнения краевой плоской деформации (12)-(15) были выведены в предположении абсолютно жесткого защемления края. На самом деле материал закрепления обладает определенными упругими свойствами. Для учета податливости закрепленного края будем считать, что оболочка крепится к упругому полупространству, простирающемуся в направлении  $z < 0$  и обладающему иными упругими характеристиками материала. На полупространство со стороны оболочки по плоскости контакта действуют нормальные  $\sigma_{z\Pi}^0$  и касательные  $\tau_{rz\Pi}^0$  напряжения, определяемые формулами (16) при  $\zeta = 0$ .

Если для определения напряжений и перемещений в полупространстве использовать решение задачи Фламан-Буссинеска [8], переходя при этом с помощью функций влияния от нагружения сосредоточенными силами к нагружению распределенной нагрузкой, то для контактных перемещений имеем

$$u^0 = \frac{(\pi E_1)^{-1} m(\theta)}{h} \sum_{i=1}^{i=n} \left[ \psi_i(\zeta) \Big|_{\zeta=0} \cdot \int_{-1-\gamma}^{1-\gamma} F_i''(\gamma) \beta_1(\gamma) d\gamma \right];$$

$$w^0 = -\frac{(\pi E_1)^{-1} m(\theta)}{R} \cdot \sum_{i=1}^{i=n} \left[ \psi_i'(\zeta) \Big|_{\zeta=0} \cdot \int_{-1-\gamma}^{1-\gamma} F_i'(\gamma) \beta_2(\gamma) d\gamma \right]; \quad (20)$$

$$\beta_1(\gamma) = \ln\left(\frac{a_1^2}{h_*^2} \cdot \gamma^2\right) - (1 + \nu_1); \quad \beta_2(\gamma) = \ln\left(\frac{a_2^2}{h_*^2} \cdot \gamma^2\right). \quad (21)$$

где  $\nu_1, E_1$  - упругие характеристики полупространства, а  $a_1, a_2$  - относительные расстояния от начала координат таких точек, лежащих на оси  $\zeta$ , в которых перемещения (20) пренебрежимо малы. Анализ характера затухания перемещений (20) позволяет для практических целей полагать [5]  $a_1 = a_2 = h_*$ .

На контактных перемещениях (20) краевые нагрузки произведут работу, трансформирующуюся в дополнительную потенциальную энергию оболочки, для которой можно записать

$$\mathcal{E}_\partial = -Rh \cdot \int_0^{2\pi} \int_{-1}^{+1} (\sigma_{z\Pi}^0 \cdot u_0 + \tau_{rz\Pi}^0 w^0) d\theta d\gamma. \quad (22)$$

Добавим выражение для энергии (22) в выражение полной энергии оболочки, соответствующее классической теории, и повторим со вторым слагаемым выкладки, что были проделаны ранее с первым слагаемым. В результате этих операций для определения краевой плоской деформации получим новую краевую задачу, в которой система дифференциальных уравнений (12) остается прежней, а граничные условия (14) представляются в модифицированной форме, а именно:

$$\sum_{i=1}^{i=n} (d_{ik} \cdot \psi_i^{(II)} + r_{ik} \psi_i^{(I)} + e_{ik} \psi_i) = Q_k; \quad \sum_{i=1}^{i=n} (f_{ik} \cdot \psi_i^{(III)} + g_{ik} \cdot \psi_i^{(I)} + s_{ik}) = 0, \quad (23)$$

при  $\zeta = 0$ , где для коэффициентов справедливы соотношения (15) и

$$r_{ik} = \frac{2L}{((1-\nu^2) \cdot \pi h_*^3)} \cdot \int_{-1}^{+1} \left\{ F_k'(\gamma) \cdot \left[ \int_{-1-\gamma}^{1-\gamma} F_i'(\gamma) \beta_2(\gamma) d\gamma \right] \right\} d\gamma;$$

$$s_{ik} = \frac{2L}{((1-\nu^2) \cdot \pi h_*^3)} \cdot \int_{-1}^{+1} \left\{ F_k''(\gamma) \cdot \left[ \int_{-1-\gamma}^{1-\gamma} F_i''(\gamma) \cdot \beta_1(\gamma) d\gamma \right] \right\} d\gamma; \quad L = E/E_1. \quad (24)$$

Для оценки влияния упругости закрепленного края вновь обратимся к рассмотрению примера, считая, что для упругого полупространства  $\nu_1 = 0,3$ . Тогда непосредственные вычисления с использованием формул (21), (24) и (7) дают

$$r_{11} = \frac{0.921 L}{h_*}; \quad s_{11} = \frac{1.66 L}{h_*^3}.$$

Решая краевую задачу (12), (23), найдем значение функции  $\Phi$ :

$$\Phi = h^2 \sigma_z^M \cdot \exp\left(\frac{-4.01 \zeta}{h_*}\right) \cdot \left[ \left( \frac{0.0941}{(0.72 L^2 + 10.06 L + 7.79)} \right) \cdot \cos\left(\frac{2.39 \zeta}{h_*}\right) - \left( \frac{0.24 + 0.03 L}{0.72 L^2 + 10.06 L + 7.79} \right) \sin\left(\frac{2.39 \zeta}{h_*}\right) \right] \cdot \left( \gamma - \frac{7}{6} \gamma^3 + \frac{1}{6} \gamma^{15} \right), \quad (25)$$

а затем, и компоненты НДС плоской деформации вблизи края  $z = 0$ . Анализируя формулы (25) и (16), можно установить, что напряженное состояние краевой плоской деформации существенно зависит от параметра  $L$  нелинейным образом. Изменяя  $L$  в интервале, характерном для металлов, можно построить, например, кривые зависимости напряжений  $\sigma_{zII}$  от параметров  $L$  и  $\alpha_2$ . Такие кривые представлены на рис.4, где напряжения  $\sigma_{zII}^0$  соответствуют точке с координатами  $z = 0, \theta = const, \gamma = 1$ .

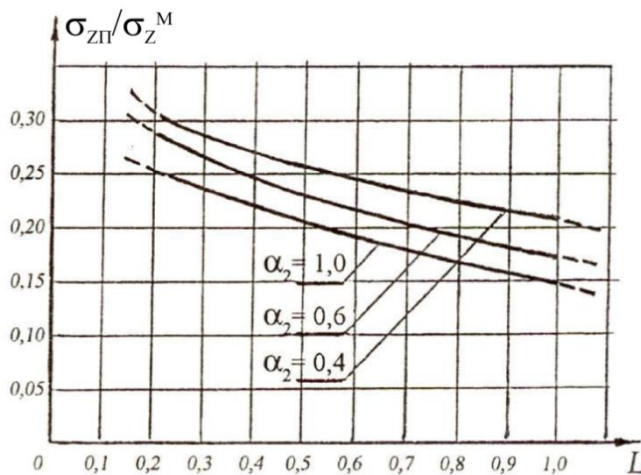


Рис. 4 Графики влияния податливости закрепленного края на нормальное напряжение

Анализ этих кривых показывает, что с уменьшением  $L$  (в пределе при  $L \rightarrow 0$  имеем жестко защемленный край), компоненты напряжений плоской деформации увеличиваются, в противном случае, т.е. с увеличением  $L$ , они имеют тенденцию к убыванию и при одинаковых жесткостях стыкуемых элементов могут уменьшиться в 2,5 раза.

и при одинаковых жесткостях стыкуемых элементов могут уменьшиться в 2,5 раза.

**К расчету фланцевого соединения на прочность**

Предполагается, что контакт между фланцами происходит по окружности, находящейся между болтами и осью соединения, так что нагрузка болтов  $Q_{np}$  вызывает изгиб фланцев (рис.5). При расчете все действующие силы, в том числе и нагрузку болтов, заменяют приведенными усилиями, равномерно распределенными по наружному краю, и изгибающим моментом.

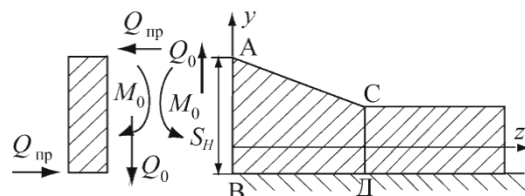


Рис. 5. Расчетная схема цельного фланцевого соединения с переходной зоной

У цельных фланцев ( см. рис. 5) между кольцом и цилиндрической частью втулки существует переходная зона, представляющая собой коническую обо-

лочку. К расчетной схеме конической оболочки приводятся также галтельные втулки и втулки приварные внахлестку к трубам.

При расчете фланца с учетом построенной теории цилиндрических оболочек с несимметрично изменяющейся толщиной используются новые уравнения, описывающие его основное и дополнительное НДС [1,2,3]. В результате уточняются значения внутренних силовых факторов и компонент НДС в различных частях соединения.

Заметим, что в этом случае упругая линия конической части балки-полоски, соответствующая основному НДС, находится не из известного уравнения [9], а из уточненного уравнения (17) в [3]. Его решение представляется как комбинация функций, производных от функций Бесселя [9]. Упругой линии балки-полоски в пределах конической и цилиндрической частей соответствуют два интеграла, каждый из которых содержит по четыре постоянных интегрирования. Две произвольные постоянные для цилиндрической части втулки, в силу условий затухания, равны нулю. Четыре постоянных получим, приравняв перемещения и усилия слева и справа от переходного сечения  $CD$ . Оставшиеся две постоянные находим из следующих условий нагружения балки-полоски:  $M=M_0$ ;  $Q=Q_0$  при  $z=0$ .

Добавляя к основному НДС дополнительное НДС, возникающее в зоне стыка кольца и втулки, для определения функции плоской деформации имеем систему уравнений (12), общий интеграл которой содержит  $4n$  произвольных постоянных. Выполняя условия затухания функции плоской деформации при удалении от стыка, сократим число постоянных интегрирования до  $2n$ . Оставшиеся постоянные определим из граничных условий (14), что будет идти в запас прочности, или из модифицированных граничных условий типа (23), учитывающих податливость защемления втулки в кольце фланца.

Если дополнительное НДС краевой плоской деформации определено, то, очевидно, что расчет фланца по допускаемым напряжениям приведет к изменению толщины втулки в зоне стыка или допускаемых нагрузок. Отметим, что к прочностному расчету фланцевого соединения следует присовокупить его расчет на хрупкую прочность [10]. В этой работе методами механики разрушения получены формулы для коэффициентов интенсивности напряжений в вершине трещины, находящейся в зоне соединения. Показано, что учет НДС краевой плоской деформации приводит к увеличению указанного коэффициента в 1,5 раза. Для фланцевого соединения это приводит к увеличению требуемого значения толщины в узкой краевой зоне цилиндрической оболочки.

В соответствии с современными представлениями механики разрушения, тонкостенные металлические элементы конструкций летательных аппаратов имеют дефекты типа трещин технологического и эксплуатационного характера, а так же возникающие в металлургическом процессе. При эксплуатации таких объектов резко возрастает вероятность появления усталостных трещин, которые при циклических нагрузках, постепенно разрастаясь, подготавливают условия для хрупкого разрушения. Данные эксплуатации и различных видов испытаний летательных аппаратов показывают, что разрушение часто происходит в зоне соединений элементов конструкций, которые при оценке прочности и трещиностойкости приобретают важное значение, особенно при интенсивных динамических нагрузках, в том числе при ударных воздействиях.

Оценка динамического состояния летательных аппаратов при указанных видах нагружения требует решения задачи о расчетном определении параметров собственных и вынужденных колебаний пластинок и оболочек постоянной и переменной толщины. В связи с этим, разработка уточненных методов расчета пластинок и оболочек, позволяющих находить колебания более высоких частот по сравнению с классической теорией, представляет собой актуальную проблему. В работе [7,11] для замкнутой круговой цилиндрической оболочки в

рамках неклассической теории получены частотные уравнения, позволяющие определить высокие тона собственных колебаний (до одиннадцатого включительно), не описываемые классической теорией.

Л и т е р а т у р а

1. *Фирсанов В.В.* Динамика и прочность установок АВ. М.: Из-во МАИ, 2007. 400с.
2. *Фирсанов В.В.* Погранслои и его влияние на прочность цилиндрической оболочки переменной толщины//Вестник Московского авиационного института. –2010. –Т. 17. – №5. – С.212-218.
3. *Фирсанов В.В., Ле Чунг Хиеу.* Напряженно-деформированное состояние краевого эффекта цилиндрической оболочки переменной толщины// Вестник Московского авиационного института. –2012. –Т. 19. –№1. – С. 157-162.
4. *Фирсанов В.В.* Об уточнении классической теории прямоугольных пластинок их композиционных материалов// Механика композиционных материалов и конструкций/ Изд. ИПРИМ РАН. – 2002. – Т.8. – №1. – С. 28-64.
5. *Гольденвейзер А.Л.* Теория упругих тонких оболочек. – М.: Наука, 1976. – 512 с.
6. *V.V. Firsanov and Ch.N. Doan.* Energy-Consistent theory of cylindrical shells// Journal of Machinery Manufacture and Reliability. – 2011. –Vol. 40. – No.6. – Pp.543-548.
7. *Фирсанов В.В., Ч.Н. Доан.* Исследование статики и свободных колебаний цилиндрических оболочек на основе неклассических теорий// Механика композиционных материалов и конструкций/ Изд. ИПРИМ РАН. – 2014. – Т. 20. – №1. – С.104-123.
8. *Филоненко-Бородич М.М.* Теория упругости. – М.: Физматгиз, 1959. – 364 с.
9. *Тимошенко С.П., Войновский-Кригер С.* Пластины и оболочки/ Пер.с англ. под ред.Г.С. Шапиро. – М.: Наука, 1966. – 635 с.
10. *Фирсанов В.В., Серпичева Е.В.* Прочность и трещиностойкость непрерывных соединений авиационных конструкций на основе неклассической теории оболочек// Известия Тульского государственного университета. – 2014. – Вып. 11 (1). – С. 267-278.
11. *Firsanov V.V. and Ch.N. Doan.* Natural oscillations of general shells based on nonclassical theory// Journal of Machinery Manufacture and Reliability. – 2014. – Vol. 43. – No 5. – Pp. 349-357.

References

1. *Firsanov, Val.V.* (2007). *Dynamica i prochnost ustanovok AV*, M.: Izd. MAI, 400 p.
2. *Firsanov, V.V.* (2010). Boundary layer and its influence on strength of cylindrical shell with a variable thickness, *Vestnik MAI*, Vol. 17, №5, 212-218.
3. *Firsanov, V.V., L.Ch. Hieu* (2012). Strain-stress state of fringe effect on a cylindrical shell with variable thickness, *Vestnik MAI*, Vol. 19, № 1, 157 -162.
4. *Firsanov V.V.* (2002). Ob utochnenii klassicheskoy teorii pryamougolnyh plastinok iz kompozicionnyh materialov, *Mehanika Kompozicionnyh Materialov i Konstrukcij*, Izd. IPRIM RAN, T.8, №1, 28-64.
5. *Goldenweyzer A.L.* (1976). *Teoriya Uprugih Tonkih Obolochek*, M.: Nauka, 512p.
6. *Firsanov, V.V. and Ch.N. Doan* (2011). Energy-Consistent Theory of Cylindrical Shells. *Journal of Machinery Manufacture and Reliability*, Vol. 40, No. 6, pp. 543-548.
7. *Firsanov, V.V., Doan, Ch.N.* (2014). Research of statics and free vibrations of cylindrical shells by not classic theory, *Mehanika Kompozicionnyh Materialov i Konstrukcij*, Izd. IPRIM RAN, T.20, №1, p. 104-123.
8. *Filonenko-Borodich, M.M.* (1959). *Teoriya Uprugosti*, M.: Izd. Fizmatgiz, 364 p.
9. *Timoshenko, S.P., Vojnovskiy-Kriger, S.* (1966). *Plastinki i Obolochki*, M.: Nauka, 635 p.
10. *Firsanov, V.V., Serpicheva, E.V.* (2014). Unbroken joints strength and crack growth resistancr in airframes analysis based non classical theory of shells, *Izvestiya Tulsckogo Gosudarstvennogo universiteta*, Vyp. 11, Ch. 1, pp. 267-278.
11. *Firsanov, V.V. and Ch.N. Doan* (2014). Natural oscillations of general shells based on nonclassical theory. *Journal of Machinery Manufacture and Reliability*, Vol. 43, No. 5, pp. 349-357.

**MATHEMATICAL MODELS OF THE IMPROVEMENTED CALCULATION ON DURABILITY OF CONTINUOUS AVIATION CONNECTIONS WITH ACCOUNT OF THEIR COMPLIANCE**

V. V. Firsanov

*Moskovskiy aviazionniy institut, Moscow*

Mathematical models and algorithms for the calculation, which allows to improve the strain-stress state of continuous aviation connections and joints with variation in wall thick-

ness are constructed. The boundary-value problem by definition of a stress state of a boundary plane strain ("boundary layer" type) for rigid fixed edges of a cylindrical shell and an annular plate at axisymmetric loading is formulated and solved.

Calculations of stresses in flange connection are carried out. Graphs of these stresses on a thickness of a plate and a shell are constructed. The boundary-value problem by "boundary layer" definition is modified for the account of connected elements of structures compliance is modified and the estimation of its influence is given.

KEYWORDS: nonclassical theory of plates and shells, cylindrical shell, the fringe effect, annular plate, boundary plane strain, boundary-value problem, polynomial approximates function, resolving system of differential equations, the natural boundary conditions, normal, longitudinal and transverse stresses, shear stresses, flange connection, Flaman-Boussinesq's problem, elastic properties of materials.

